

II-6 弯曲水路における水制の減速作用

九州大学 正員 椿東一郎

〃 〃 碓謙三

〃 学生員 長江 元義

まえがき

弯曲部における連続水制の機能を調べるために、固定床における水制の流速減殺効果と移動床における河床変動とくに水制先端部及び水制区間内の荒壠についての実験を行なった。実験に用いた水路の巾 $B = 1.0\text{m}$ 偏角 90° 、中心曲率半径 1.8m の矩形断面弯曲水路で、高さ $h_g = 2\text{cm}$ 、長さ $B_2 = 15\text{cm}$ の水制を上流直線部、弯曲部、下流直線部にわたって、弯曲外側に適当な間隔入で敷きならべたものである。

(1) 水制による流速減殺作用

図-1 は水制域を流れる単位幅流量 q_s と、平均単位幅流量 $q_s(\%B)$ の比 γ_{q_s} の流れ方向の分布を示したもので、同図には水制を設置しない場合の外壁附近における γ_{q_s} と中心における表面流向 $\tan \phi_s$ の分布も示してある。直線水路の水制の場合 γ_{q_s} の値は、水制長 B_2/h_g の影響は小さく、主として q_s/q_s (q_s, q_s は主流域水制域の流速係数) によって規定されることを示した。また q_s は γ_{q_s} の他に γ_{q_s} によつて変化し、流速減殺効

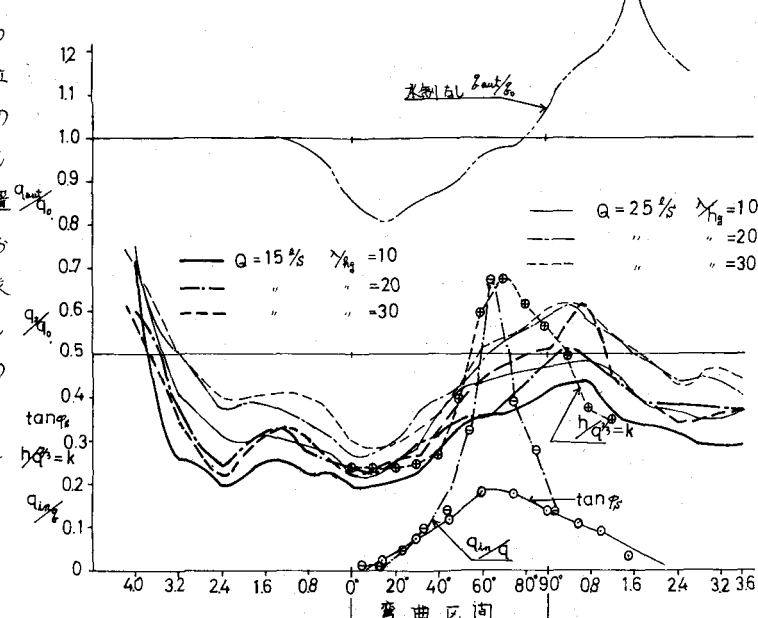


図-1

果の上では $\gamma_{q_s} = 10$ 程度が最も有効であるが、 $\gamma_{q_s} = 20$ のものと大きな差異がないことを示している。このことは弯曲水路における q_s/q_{out} にも明瞭にあらわれている。

従つて弯曲部水制の特性は直線部水制の性質を弯曲部の特徴である外向きの表面流、すなわち水制前面からの水制域への流れ込み及び外壁にそう流速の加速度状態により、変形、複雑化したものである。このことを表わすため弯曲部及び弯曲の性質が残る、

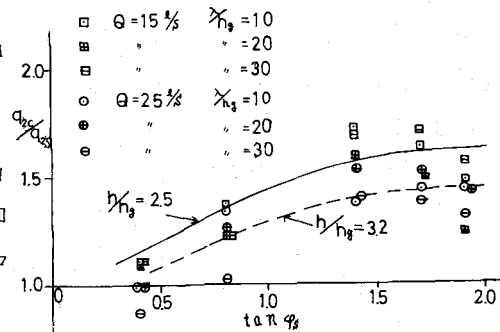


図-2

ているのはほぼ末端 1.0B 間の下流域直線部について $\delta_{\text{out}}/\delta_{\text{in}}$ ($\delta_{\text{out}}, \delta_{\text{in}}$ は弯曲部、直線部における流量) を考える。

$\delta_{\text{out}}/\delta_{\text{in}}$ の値は $\tan \alpha_s$ の他に越流水深と水制高さ、加速状態などに関係して複雑であるが $\tan \alpha_s$ に対してプロットしたものが図-2 である。図中の印は $\tan \alpha_s = 3.2$ 口印は $\tan \alpha_s = 2.5$ のもので、 $\tan \alpha_s$ が減少すると越流量に対して主流よりの流入量の比率がますます大きくなる。 $\delta_{\text{out}}/\delta_{\text{in}}$ は増加し流速減殺効果は低下する。

つぎに図は省略するが水制の背後には $L_v = (4.5 \sim 6.0)$ 程度の底面渦

が形成された後、底面流は加速され水制を越流した流れと $\tan \alpha_s$ により主流部から流入した流れの一部は次の下流の水制に衝突して水制と同時に、規模は小さいが強度の大きい水平渦を形成する。

この渦は次に述べるように、水制の洗掘に対して大きな役割を持っている。

2. 水制による局所的洗掘

図-4 は $\tan \alpha_s = 20, \gamma_B = 2.7$ の場合について水制を設置しない場合(EXP.A)、設置した場合(EXP.B)及び水制先端の 10 cm 4 角の河床表面を移動しない約 1 cm 粒径の砂でおきかえた(EXP.C) 移動床実験に於て、ほぼ平衡状態に近い洗掘深 δ cm $\tan \alpha_s$ の分布を示したものである。弯曲部に於ては内向きの底面流向 $\tan \alpha_s$ のため、外側に深掘れ、内側に堆積を生ずるが、このような河床変動が進むとともに表面流、洗掘部底面流の偏角が著しく増大し、平衡時には固定床の約 3 倍程度にも達する。従って EXP(B)(C) では流れの集中部に於て水制の先端が洗掘されると、大きな $\tan \alpha_s$ を持つ流入水による水制への水あたり及び前面の渦の強さは、洗掘が進むとともに激化し、角の $\tan \alpha_s$ の方向にそって流出する。

従って EXP(B)(C) の場合とも水制の前面に洗掘穴が作られると、水制前面の砂粒はこのらせん流により、一方的に運び出され、その結果最大洗掘深が岸側に移動するとともに EXP(C) に示す形で水制間の河床は急激に洗掘される。次に水制前面間の洗掘深については、前に求めた洗掘深を含めた水深 h の表示式

$$h = K \delta^{\alpha} \quad \text{又は} \quad \frac{h}{\delta} = K^{\beta}$$

を用い、洗掘深表示 K とともに弯曲の性質を表わすパラメータ $\tan \alpha_s$ 及び水制前面における主流よりの流入量 δ_{out} の分布を図-1 に示した。なお上式の α としては実用への便宜を考えて、固定床における先端部流量を用いている。K は δ_{out} 、 $\tan \alpha_s$ とがなり良い相間を示している。また直線部における K の値は $K = 0.29 \sim 0.33$ 程度でほぼ一定であるが、たが弯曲部においては $\theta = 40^\circ$ から急激に増大を始め $\theta = 70^\circ$ で極値 $K_{\max} = 0.60$ とし、た後、ゆるやかに減少しほぼ弯曲下流部 1 B 程度の位置で直線部の値にもどっている。以上のように、 $\tan \alpha_s$ の大きい範囲では、一たび洗掘穴を生ずると水制前面の洗掘は、一方的に進行し、流速の減少、護岸効果は期待できなくなる。従って $\tan \alpha_s$ の大きい領域に於ては、水制先端部のみではなく、その前面の洗掘防止のための対策がなされなければならない。

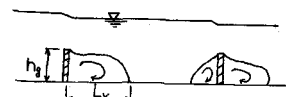


図-3

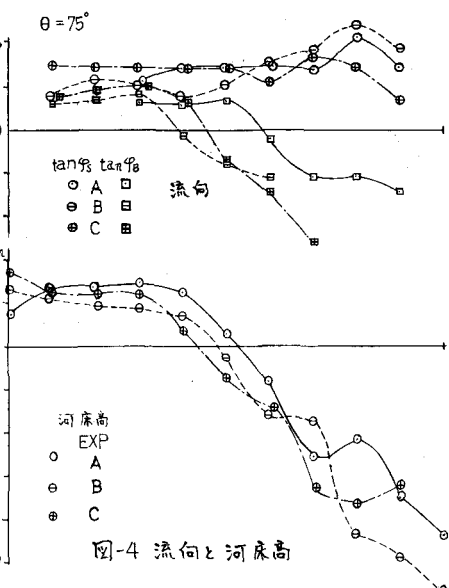


図-4 流向と河床高